

## زنولیت‌زایی در آندزیتهای جنوب کهریزک

کمال الدین بازرگانی \* و محمد صادق ربانی \*\*

\* گروه زمین‌شناسی دانشگاه علوم دانشگاه تهران

\*\* گروه شیمی دانشگاه علوم دانشگاه تهران و

محقق مشاور سازمان انرژی اتمی ایران \*\*

### چکیده

کوه اراده که در چهل کیلومتری جنوب تهران از نواحی جنوب کهریزک و در شمالی‌ترین نقطه ایران مرکزی واقع است، از سنگهای آتشفشنایی عمده‌ای از نوع آندزیت تشکیل یافته است. با مشاهدات صحرابی، آزمایشگاهی، استفاده از فنون XRD، FTIR و تجزیه شیمیایی، گونه‌های زنولیتی و کانیهای همراه آن در بستر آندزیتی مورد شناسایی قرار گرفته‌اند. زنولیت‌های منطقه موردن بررسی به ترتیب فراوانی شامل ناترولیت، تتراناترولیت، هوبلاندیت، مزولیت، آنالسیم، تامسونیت‌داخیاردیت و استیلوبیت می‌باشند. کانیهای دیگر که بهمراه زنولیت‌ها در این ناحیه یافت شده‌اند به طور عمده عبارتند از کلسیت، کوارتز، کریستوبالیت، اوپال، کلریت، پیرولوزیت و آثاری از مالاکیت. نسبت Si/Al در زنولیت‌های منطقه از ۱/۸ تا ۲/۸ متغیر است. شواهد آزمایشگاهی و زمین‌شناختی نشان می‌دهد که تشکیل این زنولیت‌ها در محیط گرمایی صورت گرفته است. بعلاوه قرار گرفتن سنگهای آتشفشنایی در دریاچه‌های قلیابی-نمکی موجب تشدید تشکیل زنولیت‌ها شده است.

### طبیعی و مصنوعی به ترکیب شیمیایی و ساختار

### مقدمه

بلورین آنها بستگی دارد [۱].

زنولیت‌های طبیعی در صنایع و کشاورزی، کاربردهای فراوانی یافته‌اند [۲]. به عنوان مصالح ساختمانی [۳]، افزودنی به سیمان [۴]، کاتالیزور در برخی از واکنشهای شیمیایی و در صنایع نفتی، در شوینده‌ها [۵] و در صنایع هسته‌ای برای رفع آلودگی‌های هسته‌ای به کار رفته‌اند. به عنوان مثال در رفع آلودگی محلولهای رادیواکتیو بالا در حادثه

زنولیت‌ها سیلیکات‌های آلومینیوم آبدار فلزات قلیابی و قلیابی خاکی با ساختار سه بعدی می‌باشند. این ترکیبات دارای قابلیت جذب و دفع برگشت‌پذیر آب و کاتیونها، بدون تغییر عمده در ساختار آنها هستند. بیش از ۴۰ گونه طبیعی از آنها شناسایی شده است و حدود ۱۰۰ گونه از زنولیت‌ها به طور مصنوعی در آزمایشگاهها ساخته شده‌اند که معادل آنها در طبیعت یافت نشده است. کاربرد هر دو نوع زنولیت

تهران - قم اشاره شده است. بنا بر اطلاعات نویسندها، محل مورد مطالعه، جنوب کهریزک، یکی از نواحی نمونه زئولیت‌زایی در ایران می‌باشد. تشکیل زئولیتهای آتشفسان را (ولکاتوژن) به طور کلی در دو بستر زمین‌شناسی شناخته شده است: در گدازه‌های فلاتی، عمدتاً بازالتی و در کمربندی‌های کوه‌زایی، (Orogenic) عمدتاً آندزیتی [۹]. زئولیتهای آتشفسان را بیشتر در بستر سنگهای قلیایی به ویژه بازالت‌ها گزارش شده است [۱۰، ۱۱، ۱۲، ۱۳، ۱۴ و ۱۵] در حالیکه در منطقه مورد مطالعه، زئولیتها در بستر سنگهای ایترمیدیت (آندرزیت‌ها)<sup>۱</sup> دیده شده‌اند و تعداد کمی از نویسندها، وجود زئولیتها را در آندزیت‌ها گزارش کرده‌اند، [۹، ۱۶، ۱۷ و ۱۸]. وجود زئولیتها با منشاء گرمابی (هیدروترمال) در رگه‌ها و بادامک‌ها گزارش شده است [۱۹ و ۲۰].

در این گزارش، پراکنده‌ی زئولیتها و سایر کانیهای منطقه مورد مطالعه توضیح داده شده و تکون (زنز) آنها تفسیر شده است.

وضعیت زمین‌شناختی منطقه مورد مطالعه را می‌توان از نظر زمین‌شناختی به دو بخش آتشفسانی و رسوبی تقسیم نمود:

نیروگاه هسته‌ای تری‌مایل-آیلند آمریکا در سال ۱۹۷۹/۱۳۵۸ از زئولیتها استفاده شده است [۶]. در حادثه چرنوبیل نیز برای خارج کردن پسمانهای رادیوآکتیویته پائین آبهای آلوده از زئولیتهای طبیعی استفاده شده است، [۷].

امروزه برای زئولیتها کاربردهای زیست‌محیطی متعددی یافته‌اند. در پالایش فاضلابها برای خارج کردن آمونیوم از محلول به کار می‌رond. زئولیتها را پس از این مصرف می‌توان با آب نمک‌دار بازیابی کرد و آمونیوم حاصل از فرایند بازیابی را در کشاورزی مورد استفاده قرار داد. زئولیتها به طوری که اشاره شد، به عنوان خارج‌کننده رادیونوکلئیدها از آبهای آلوده به کار می‌رond. به طور کلی زئولیتها را در پسمانداری هسته‌ای می‌توان مصرف کرد و اخیراً از آنها برای جامدسازی و ثبیت پسمانهای خطرناک استفاده شده است. تحقیقات برای خارج کردن فلزات سنگین از پسابهای صنعتی، کشاورزی و آبهای معدنی در سازمانهای متعددی در جریان است. زئولیتهای طبیعی برای بهبود خاک کارآیی بسیار بالایی دارند و خواص فیزیکی بسیاری از خاکها به ویژه خاکهای ماسه‌ای را بهبود می‌بخشند.

بنا به گزارش سازمان زمین‌شناسی کشور [۸] توفهای انوسن و شکاف سنگهای آتشفسانی دوران سوم (Tertiary) محیطهای مناسبی برای زئولیت‌زایی در ایران شناخته شده‌اند. در این گزارش به وجود زئولیتها در آندزیتهای واقع در مسیر جاده

اندزیت، اندزی بازالت<sup>۱۳</sup> و تراکی اندزیت<sup>۱۴</sup>. در زیر سنگهای اخیر در جاده تهران-قم آگلومرات انجاری نیز مشاهده شده که نشان دهنده انجار قبل از خروج گدازه است.

سن نسبی سنگهای آتشفسانی منطقه با توجه به نقشه زمین‌شناسی چهارگوش شماره F5 ایران (۱۳۶۵) [۲۱ و ۲۲] و بطبق نظر نویسندهان مقاله ائوسن تعیین شده است.

دیواره‌های (dykes) متعددی، عمدتاً با ترکیب اندزیتی و عاری از کانیهای زئولیتی، مجموعه سنگهای آتشفسانی را قطع کرده‌اند.

نقشه‌های زمین‌شناسی منطقه و نقشه ۱:۱,۰۰۰,۰۰۰ ایران و توالی قرار گرفتن آنها بر روی هم نشان می‌دهند که سنگهای آتشفسانی ایران مرکزی و منطقه مورد مطالعه از یک منشاء بوده و طبعاً

۲- Dacitic-andesitic tuffs.

۳- Ignimbrite.

۴- Calcite.

۵- Olivene.

۶- Opal.

۷- Chlorite.

۸- Amphibole.

۹- Ferromagnesian.

۱۰- Augite.

۱۱- Olevine.

۱۲- Pyroxene.

۱۳- Andesi-basalt.

۱۴- Tracky-andeites.

سنگهای آتشفسانی. توفهای داسیتی-آندزیتی<sup>۲</sup> در غرب کوه اراده گستردگی زیادی دارند و ضخامت آنها حدود ۱۴۰ متر است. این توفهای دارای شیب کم و لایه لایه‌اند. روی آنها را توفهای از قرمز تا سفید رنگ ایگنمبریت<sup>۳</sup> پوشانده‌اند که حالت جریانی دارند ایگنمبریت‌ها دارای سه رشته درز و شکافند که در درزهای قائم آنها در بعضی از موارد رگه‌هایی از کلسیت<sup>۴</sup> به قطر حدود یک متر نیز دیده می‌شود. ایگنمبریت‌ها در بیشتر موارد به وسیله بازالت‌های اولیوین دار<sup>۵</sup> پوشانده شده‌اند. این مجموعه عمدتاً فاقد کانی‌های زئولیتی است.

بر روی مجموعه سنگهای آتشفسانی مزبور و یا در کنار آنها، اغلب آندزیت‌های زئولیت‌دار وجود دارند. این نوع از نظر اندازه و میزان فراوانی زئولیت‌ها از بقیه سنگهای منطقه مورد مطالعه متمایزند. همراه زئولیت‌ها در بعضی از موارد کلسیت، و در موارد کمتری اوپال<sup>۶</sup> و کلریت<sup>۷</sup> دیده می‌شود.

اندزیت‌های مزبور اغلب عاری از آمفیبول<sup>۸</sup> بوده و در آنها در بعضی از موارد کانیهای فرومیزین<sup>۹</sup> از نوع اوپیت<sup>۱۰</sup> و اولیوین<sup>۱۱</sup> دیده می‌شوند.

در شمال غرب محمد آباد (نقشه ۱) در بعضی از موارد روی اندزیت‌های زئولیت‌دار وایگنمبریت‌هارا اندزیت پیروکسن دار<sup>۱۲</sup> پوشانده است که اغلب عاری از کانیهای زئولیتی است.

بیشتر ارتفاعات منطقه مورد مطالعه از سنگهای آتشفسانی تشکیل یافته‌اند که بطور عمده عبارتند از

## آزمایش‌ها

سرگذشت هر دو رامی توان یکی دانست.

سنگ‌های رسوبی، سنگ‌ها و سازندهای رسوبی در منطقه مورد مطالعه، گسترش خیلی محدود دارند و از قدیم به جدید عبارتند از:

الف: مارنهای ژیپس<sup>۱۵</sup> دار همراه با لایه‌های ماسه سنگی

ب: مارنهای ماسه‌ای<sup>۱۶</sup> حاوی قلوه سنگ‌ها

ج: مجموعه آبرفتی دوران چهارم (کوارترنری)

## زمینه ساخت (تکتونیک)

منطقه مورد مطالعه از نظر زمین‌شناسی در شمالی‌ترین محدوده ایران مرکزی واقع و جزء کوچکی از آن است. سنگ‌های آتشفسانی با شیب ملایم و در حدود ۱۵° در آن گستردگاند. سنگ‌های رسوبی به حالت دگرشیب روی سنگ‌های آتشفسانی قرار گرفته‌اند. لذا می‌توان نتیجه گرفت که ناحیه مورد بررسی تحت اثر چین خورده‌گی شدید قرار نگرفته است. از طرف دیگر گسل‌های متعدد، اما نه عمده، در منطقه وجود دارد (نقشه ۱). یکی از این گسل‌ها باعث قرار گرفتن آندزیتهای زئولیت‌دار در کنار ایگنمبریت‌ها شده است. فعالیت این گسل‌ها بعد از انواع شروع شده و تانثوزن ادامه داشته است.

روش نمونه‌برداری، بیش از بیست و پنج نمونا زئولیتی یا زئولیت‌دار از سنگ‌های آتشفسانی (ولکانیتی) در مساحتی به وسعت تقریبی<sup>۱۰</sup> ۴ کیلومترمربع از منطقه کوه اراده واقع در جنوب کهرباگ، کیلومتر ۴۰ جاده قدیم تهران - قم، برداشت شده است. برداشت نمونه‌ها در سه پیمایش د مسیرهای تعیین شده در (نقشه ۱) صورت گرفت است. پس از مطالعه پاراژنز نمونه‌ها به وسیله میکروسکوپ دوچشمی، نمونه‌ها در آزمایشگاه ب آرامی به وسیله چکش خرد و تاحد ممکن فازهای ناهمگن آن با چشم غیر مسلح جدا سازی شده‌اند. سپس نمونه‌ها آسیاب شده و با الکهای استاندارد حدود ۲۰۰ تا ۱۰۰ مش (۷۵ تا ۱۵۰ میکرون) غربال شده‌اند.

پراش پرتوایکس، نمونه‌های پودر شده به وسیله طیف‌سنج XRD مدل Shimadzu XD-5A، چشمکه  $k\alpha_{\text{Cu}}$  با طول موج  $1/\text{۰}۵۴۰۵۸$  بین زوایای ۴ تا ۶۴ درجه با سرعت ۱ درجه بر دقیقه شناسایی شده است.

۱- Gypsum marls.  
۲- Sand marls.

**نتایج XRD و تجزیه شیمیایی نمونه‌ها**

نتایج طیف XRD کلیه نمونه‌ها به همراه نتیجه طیف XRD تعداد منتخبی از نمونه‌های اسیدشویی شده در جدول ۱ نشان داده شده است. در این جدول نتایج آزمایش‌های TGA و FTIR بر روی تعدادی از نمونه‌های نیز آورده شده‌اند. نتایج آزمایش‌های اخیر در توافق نزدیک با نتایج XRD بوده است. نتایج تجزیه شیمیایی بر روی ۷ نمونه انتخابی در جدول ۲ درج شده است. از مجموع ۱۶ نمونه، ۱۳ نمونه به طور عمده، به جزکلسیت، حاوی ناترولیت<sup>۱۷</sup>، تراناترولیت<sup>۱۸</sup> و مزولیت<sup>۱۹</sup> می‌باشند. هیولاندیت<sup>۲۰</sup> و آنالسیم<sup>۲۱</sup> (به مقدار کمتر) در اغلب نمونه‌های اسیدشویی شده‌اند. آنالسیم به ویژه در نمونه‌های اسیدشویی شده به وضوح مشاهده شده است. با توجه به مقاومت کمتر ناترولیت‌ها در مقابل اسیدکلریدریک [۲۲]، به نظر می‌رسد مقدار آنالسیم در باقیمانده اسیدشویی تغییظ شده و پیکهای مشخصی در طیف ایجاد می‌کنند. نمونه شماره ۹ دارای مقادیر تقریباً مساوی مزولیت و ناترولیت بوده و در اثر شستشو با اسیدکلریدریک حالت ژلاتینی پیدا می‌کند. تشکیل حالت ژلاتینی در نمونه‌های حاوی مزولیت نیز

عنوان	تجزیه شیمیایی، مقدار آب موجود در زئولیت‌ها
سالی	و همچنین CO <sub>2</sub> موجود در آنها با روش تجزیه
نوبت	Du Pont 951 Thermogravimetric گرمــوزنی به وسیله
شته	بر روی حدود ۱۰mg نمونه پودر شده، تحت اتمسفر
در رفتہ	نیتروژن با حریانی معادل ۵.۰ml/min، از دمای اتاق تا حدود ۸۰۰°C و با سرعت ۱۰ درجه بر دقیقه
سیله	اندازه گیری شده است. مقادیر آب موجود در زئولیتها
به مکن	تا دمای ۳۵۰°C به آب زئولیتی نسبت داده شده است. کاهش وزن نمونه از دمای ۶۰۰°C تا ۷۵۰°C به متضاد شدن CO <sub>2</sub> از نمونه نسبت داده شده است.
مازی	طیف FTIR با روش تهیه قرص KBr از نمونه‌ها به
سایون(ن)	وسیله طیفسنج Shimadzu ۴۲۰۰ بین ۴۰۰ تا ۵۰۰۰ cm <sup>-۱</sup> با توان تفکیک ۲cm <sup>-۱</sup> و با گردآوری ۱۰ پیمایش در دمای اتاق صورت گرفته است. تجزیه شیمیایی به وسیله جذب اتمی مدل Varian Spectr AA/۲۰۰ انجام شده است. در نمونه‌ایی که طیف XRD آنها با پیکهای شاخص کلسیت موجود در نمونه‌ها همبושانی داشته‌اند، نمونه‌ها با اسیدکلریدریک ۱۰٪ به مدت ۲۰ دقیقه در دمای اتاق شستشو داده شده و طیف XRD نمونه‌ها پیش از اسیدشویی مقایسه شده است. همین عمل برای مقایسه طیف‌های FTIR نمونه‌ها نیز صورت گرفته است. مقادیر CO <sub>2</sub> تعیین شده به روش تجزیه گرمــوزنی به مقدار کلسیت موجود در نمونه‌ها نسبت داده شده است.
۱۷- Natrolite.	
۱۸- Tetrannatrolite.	
۱۹- Mesolite.	
۲۰- Heulandite.	
۲۱- Analcime.	

جدول ۱- نتایج FTIR، TGA، XRD، مربوط به زنولیتهای ناحیه کهریزک

پروفیل	کد نمونه	آزمایش‌های انجام شده	نتایج
AA	۱	XRD، TGA، FTIR	Tet>Cal>Mes
AA	۱A	XRD، TGA، FTIR	Tet-Nat-Ana
AA	۲	XRD	Cal>Heu>Cristobalite>Fel
AA	۳	XRD، TGA، FTIR	Cal>Nat>Ana
AA	۴A	XRD، TGA	Nat>Pyrochroite
AA	۴	XRD	Cal>Nat>Ana
AA	۵	XRD	Nat-Tet>Cal
AA	۶	XRD	Nat>Cal
AA	۷	XRD، TGA، FTIR	Cal-Nat>Mes-Tho
AA	۷A	XRD، TGA	Nat>>Ana
AA	۸	XRD	Nat>Heu>Cal
AA	۹	XRD	Nat-Mes
AA	۹A	XRD، TGA	Nat>>Ana
AA	۱۰	XRD	Nat>Cal-Qua>
AA	۱۱	XRD	Polygorskite>Cal>Qua
CC	۱۲	XRD، TGA، FTIR	Cal-Nat>Mes>Sti
CC	۱۲A	XRD	Ana>Nat>Heu
CC	۱۳	XRD، TGA، FTIR	Nat-Cal>Mes>Thomsonite
CC	۱۲A	XRD	Nat>Ana-Heu-Dachiardite
CC	۱۴	XRD	Nat-Tet>>Gyp-Ana-Cal
CC	۱۵	XRD	Nat>>Cal>Ana
BB	۱۶	XRD، TGA	Sti

Nat = natrolite, Cal = calcite, Ana = analcime, Tet = tetrnatrolite, Mes = mesolite, Sti = stilbite, Qua = quartz, Fel = feldspar, Heu = heulandite, A = acid treated

جدول ۲- تجزیه شیمیابی کانیهای زنولیتی کهریزک

پروفیل	شماره نمونه	فرمولها
AA	۱	(Na <sub>۱</sub> O) <sub>۰.۱۸</sub> (CaO) <sub>۰.۱۸</sub> (SiO <sub>۴</sub> ) <sub>۱/۲</sub> (Al <sub>۱</sub> O <sub>۴</sub> ) <sub>۱/۲</sub> .۱/۲(H <sub>۲</sub> O)
AA	۲	(Na <sub>۱</sub> O) <sub>۰.۱۰</sub> (CaO) <sub>۰.۱۰</sub> (SiO <sub>۴</sub> ) <sub>۱/۲</sub> (Al <sub>۱</sub> O <sub>۴</sub> ) <sub>۱/۲</sub> .۲/۳(H <sub>۲</sub> O)
AA	۷	(Na <sub>۱</sub> O) <sub>۰.۱۴</sub> (CaO) <sub>۰.۱۴</sub> (SiO <sub>۴</sub> ) <sub>۱/۲</sub> (Al <sub>۱</sub> O <sub>۴</sub> ) <sub>۱/۲</sub> .۱/۲(H <sub>۲</sub> O)
AA	۹	(Na <sub>۱</sub> O) <sub>۰.۱۴</sub> (CaO) <sub>۰.۱۴</sub> (SiO <sub>۴</sub> ) <sub>۱/۲</sub> (Al <sub>۱</sub> O <sub>۴</sub> ) <sub>۱/۲</sub> .۱/۲(H <sub>۲</sub> O)
CC	۱۲	(Na <sub>۱</sub> O) <sub>۰.۱۸</sub> (CaO) <sub>۰.۱۸</sub> (SiO <sub>۴</sub> ) <sub>۱/۲</sub> (Al <sub>۱</sub> O <sub>۴</sub> ) <sub>۱/۲</sub> .۱/۲(H <sub>۲</sub> O)
CC	۱۳	(Na <sub>۱</sub> O) <sub>۰.۱۸</sub> (CaO) <sub>۰.۱۸</sub> (SiO <sub>۴</sub> ) <sub>۱/۲</sub> (Al <sub>۱</sub> O <sub>۴</sub> ) <sub>۱/۲</sub> .۲/۳(H <sub>۲</sub> O)
BB	۱۶	(Na <sub>۱</sub> O) <sub>۰.۱۱</sub> (CaO) <sub>۰.۱۱</sub> (SiO <sub>۴</sub> ) <sub>۰.۱۰</sub> (Al <sub>۱</sub> O <sub>۴</sub> ) <sub>۱/۲</sub> .۰.۵/۳(H <sub>۲</sub> O)

مواردی نیز بادامک‌ها یا بلوردانهای (ژنودهای) حاوی کوارتز، اوپال و کلسیت بدون رد زئولیت‌های دیده شده‌اند.

در فاصله یک کیلومتری به سمت غرب محل مزبور، بادامک‌ها حاوی کلسیت و کلریت بوده و اثرهایی از مالاکیت در آنها نیز دیده شده‌است. تنوع زئولیت‌ها و کانی‌های همراه در پروفیل AA، در سنگهای اندازیتی زیادتر بوده و پارازنژهای عمدت آن بترتیب فراوانی عبارتند از کلسیت، ناتروولیت، کوارتز، آنسالسیم، هیولاندیت، تراناتروولیت، مزوولیت، تامسونیت، کریستوبالیت<sup>۲۷</sup>، آپال و پیرولوزیت.

در پروفیل BB تنوع و مقدار کانی‌های موجود در سنگهای اندازیتی بمراتب کمتر از پروفیل AA و CC بوده است. استیلیبیت تنها در یک نمونه از پروفیل BB دیده شده است.

در پروفیل CC مقدار کانی‌های منگنز بخصوص پیرولوزیت گسترش و پراکندگی زیادتری دارند به طوری که در بعضی نقاط رگه‌ها و شکاف‌ها فقط از پیرولوزیت و کلسیت پوشیده‌اند. بنظر می‌رسد

گزارش شده است [۱۵]. تنها نمونه‌ای که حاوی استیلیبیت<sup>۲۲</sup> بوده است نمونه شماره ۱۶ است که در ناحیه مرکزی پروفیل BB یافت شده است.

تجزیه شیمیایی تعداد منتخبی از نمونه‌ها نسبت ۱۶ Si/Al را از ۱/۱، برای نمونه ۱۳، تا ۲/۸ برای نمونه (استیلیبیت) نشان می‌دهد. نمونه‌هایی که تجزیه شیمیایی شده‌اند عمدتاً حاوی ناتروولیت می‌باشند، اما نمونه ۱۱ تنها حاوی استیلیبیت می‌باشد. در نمونه‌های ۷ و ۱۳ مقادیری تامسونیت<sup>۲۳</sup> نیز یافت شده است. وجود تامسونیت در اندازیت‌ها نیز گزارش شده است [۱۵].

**زنولیت‌ها و پارازنژها**  
بادامک‌ها، رگه‌ها و رگچه‌های موجود در سنگهای آتشفسانی جنوب کهریزک اغلب حاوی کلسیت بوده و در موارد کمتری کلسیت به همراه زئولیت دیده شده است. در موارد نادری نیز بادامک‌های این منطقه به وسیله کلسیت، زئولیت‌ها و پیرولوزیت<sup>۲۴</sup> پر شده‌اند. در بعضی از نقاط این منطقه رگه‌های کلسیتی به ضخامت ۲۵ سانتی‌متر هم می‌رسد، در حالیکه در همین نقاط زئولیت‌ها با بافت عمدتاً اسفلولیتی<sup>۲۵</sup> بادامک‌ها را پر کرده‌اند.

در موارد کمتری در بادامک‌ها، رگه‌ها و رگچه‌های موجود در اندازیت‌های منطقه مورد مطالعه کوارتز<sup>۲۶</sup>، اوپال سفید شیری رنگ و قرمز به همراه زئولیت‌های دیده شده است. لازم به ذکر است که در

۲۲- Stilbite.

۲۳- Thomsonite.

۲۴- Pyrolusite.

۲۵- Spherulitic.

۲۶- Quartz.

۲۷- Crystobalite.

آتشفسانی محتملاً موجب زئولیت‌زائی شده است. از سوی دیگر بعلت اینکه در یاچه‌های قلیائی از دوران چهارم (دوره کوارترنری) منطقه کهریزک و جنوب آنرا پوشش داده‌اند، می‌توان نتیجه گرفت که وجود محیط قلیائی و آبهای شور در جنوب کهریزک زئولیت‌زایی در این ناحیه را تشدید کرده است.

### تشکر و سپاسگزاری

نویسنده‌گان در اجرای این طرح از حمایتهای شورای پژوهشی دانشگاه در تصویب طرح، معاونت پژوهشی دانشگاه در حمایت مالی و از دانشکده علوم دانشگاه تهران و آزمایشگاه جابرین حیان سازمان امنی اتمی در تامین امکانات صحراوی و آزمایشگاهی بهره‌مند بوده‌اند. بدینوسیله مراتب سپاسگزاری خود را اعلام می‌دارند.

که در ولکانیت‌های<sup>۲۸</sup> اسیدی منطقه، بخصوص در شمال بروفیل<sup>۲۹</sup>، عمل کانولینی شدن به شدت انجام گرفته است.

### تکوین (Genesis)

از نظر تکوین زئولیتهای این منطقه با توجه به شواهد زیر دارای منشاء گرمابی هستند:

(الف) زئولیت‌های این حوزه اغلب پاراژنز کانی کلسیت درشت بلور می‌باشند.

(ب) این زئولیتها در رگه‌ها، رگچه‌ها و بادامک‌ها یافت شده‌اند.

(ج) زئولیت‌های رشتہ‌ای، ناترولیت‌ها در ارتباط با رشد درون‌هم با سپیولیت<sup>۳۰</sup> یا کلسیت دیده شده‌اند.

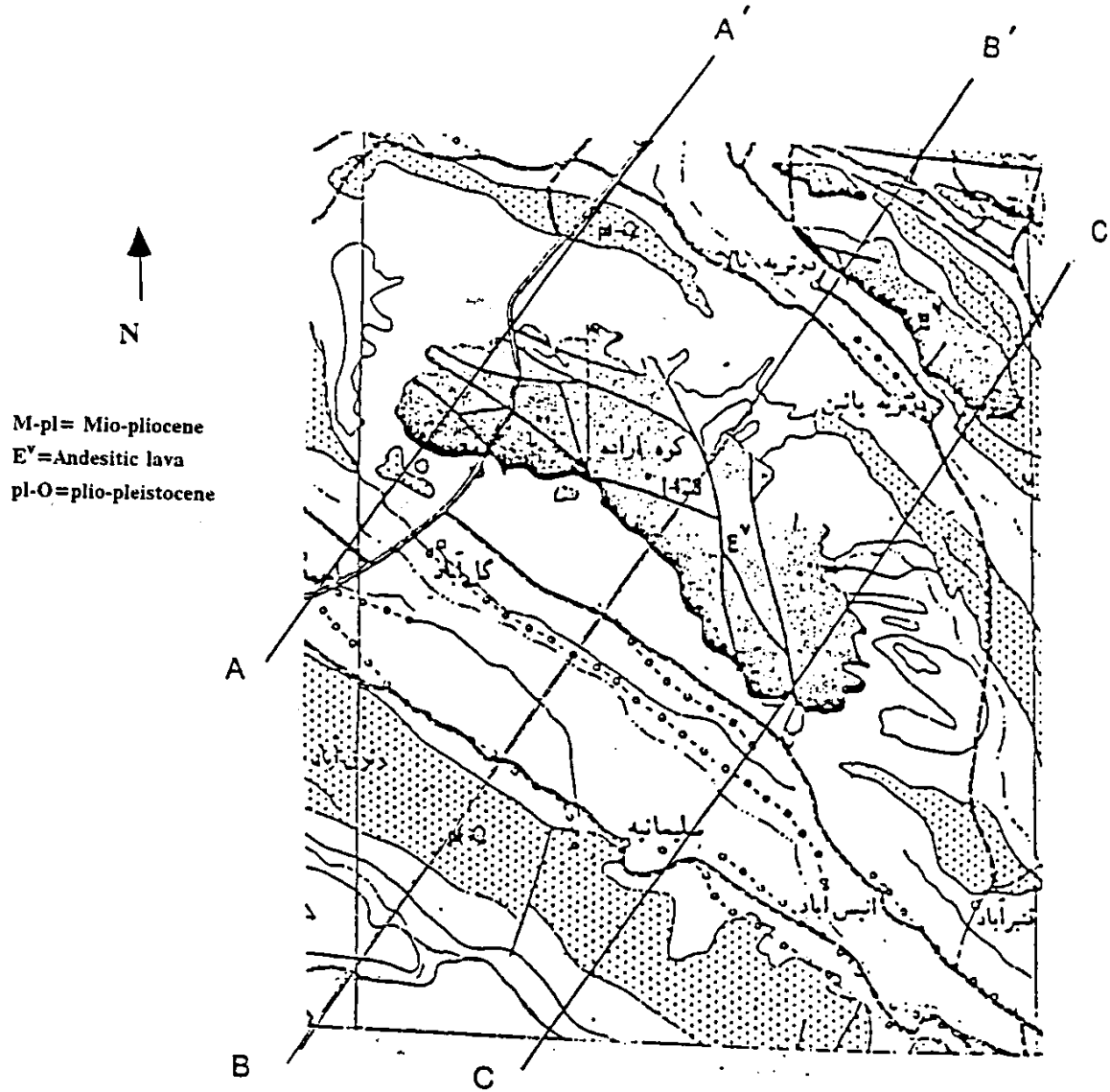
(د) کانی‌های کلریتی همراه با زئولیت مشاهده شده‌اند و این نوع دگرسانی به همراه کلسیت درشت بلور نیز دیده شده است.

(ه) بافت اسپرولیتیک در ناترولیت‌های منطقه، به ویژه در غرب منطقه مورد مطالعه زیاد است.

از سوی دیگر با توجه به نقشه زمین‌شناسی مطالعه سنگهای جنوب کهریزک و مقایسه آنها با سنگهای جاده خاوران ملاحظه می‌شود که سنگهای ولکانیتی دو منطقه جنوب کهریزک و جاده خاوران نظیر یکدیگرند (نقشه ۲). اما در منطقه جاده خاوران نسفودی‌های جوانتر از آنسو سن وجود دارند که کانی‌های زئولیتی در آنها به ندرت مشاهده شده است. لذا آبهای گرم (هیدروترمال‌ها) حاصل از سنگهای

۲۸- Volcanites.

۲۹- Sepiolite.



نقشه ۱- منطقه کوه اراده، گسترش و لکانیک اثوسن<sup>V</sup> E (نقل از نقشه چهارگوش ۱:۲۵۰,۰۰۰ تهران)

سه پیمایش نمونه برداری C-C', B-B', A-A' در نقشه نشان داده شده است.

آتشفسانی محتملاً موجب زئولیت‌زائی شده است. از سوی دیگر بعلت اینکه دریاچه‌های قلیانی از دوران چهارم (دوره کوارترنری) منطقه کهریزک و جنوب آنرا پوشش داده‌اند، می‌توان نتیجه گرفت که وجود محیط قلیانی و آبهای سور در جنوب کهریزک زئولیت‌زایی در این ناحیه را تشدید کرده است.

### تشکر و سپاسگزاری

نویسنده‌گان در اجرای این طرح از حمایتهاي شورای پژوهشی دانشگاه در تصویب طرح، معاونت پژوهشی دانشگاه در حمایت مالی و از دانشکده علوم دانشگاه تهران و آزمایشگاه جابرین حیان سازمان امنرژی اتمی در تامین امکانات صحرایی و آزمایشگاهی بهره‌مند بوده‌اند. بدینوسیله مراتب سپاسگزاری خود را اعلام می‌دارند.

که در ولکانیت‌های<sup>۲۸</sup> اسیدی منطقه، بخصوص در شمال پروفیل<sup>۱</sup> BB، عمل کائولینی شدن به شدت انجام گرفته است.

### تکوین (Genesis)

از نظر تکوین زئولیتهاي اين منطقه با توجه به شواهد زير داراي منشاء گرمابي هستند:

(الف) زئولیت‌های این حوزه اغلب پارازنکانی کلسیت درشت بلور می‌باشند.

(ب) این زئولیتها در رگه‌ها، رگچه‌ها و بادامک‌ها یافت شده‌اند.

(ج) زئولیت‌های رشتہ‌ای، ناترولیت‌ها در ارتباط با رشد درون‌هم با سپیولیت<sup>۲۹</sup> یا کلسیت دیده شده‌اند.

(د) کانی‌های کلریتی همراه با زئولیت مشاهده شده‌اند و این نوع دگرسانی به همراه کلسیت درشت بلور نیز دیده شده است.

(ه) بافت اسفلولیتیک در ناترولیت‌های منطقه، به ویژه در غرب منطقه مورد مطالعه زیاد است.

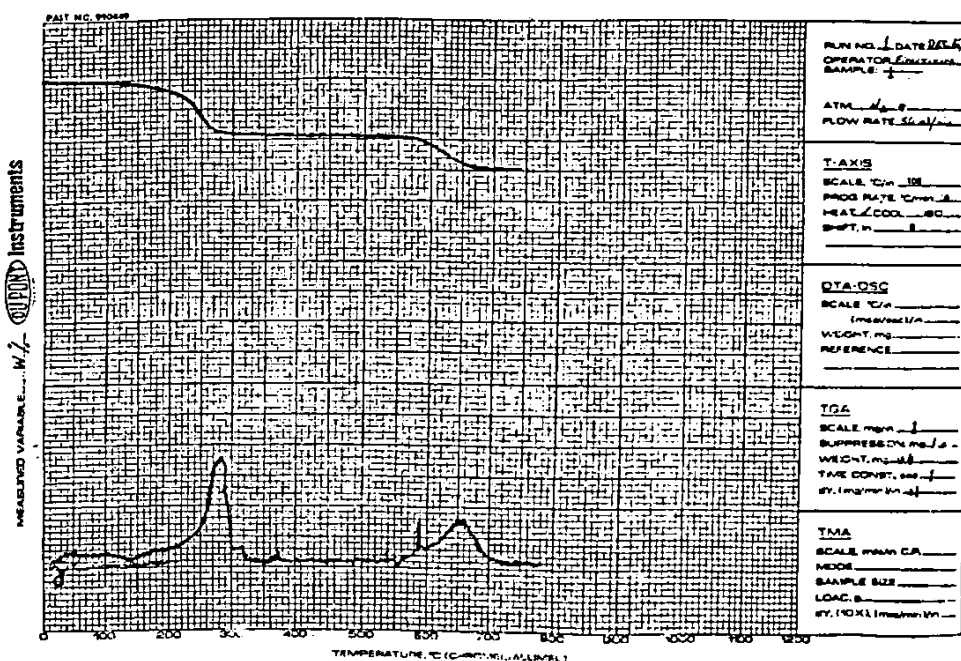
از سوی دیگر با توجه به نقشه زمین‌شناسی مطالعه سنگهای جنوب کهریزک و مقایسه آنها با سنگهای جاده خاوران ملاحظه می‌شود که سنگهای ولکانیتی دو منطقه جنوب کهریزک و جاده خاوران نظیر یکدیگرند (نقشه ۲). اما در منطقه جاده خاوران نفوذی‌های جوانتر از اتوسن وجود دارند که کانی‌های زئولیتی در آنها به ندرت مشاهده شده‌است. لذا آبهای گرم (هیدروترمال‌ها) حاصل از سنگهای

۲۸- Volcanites.

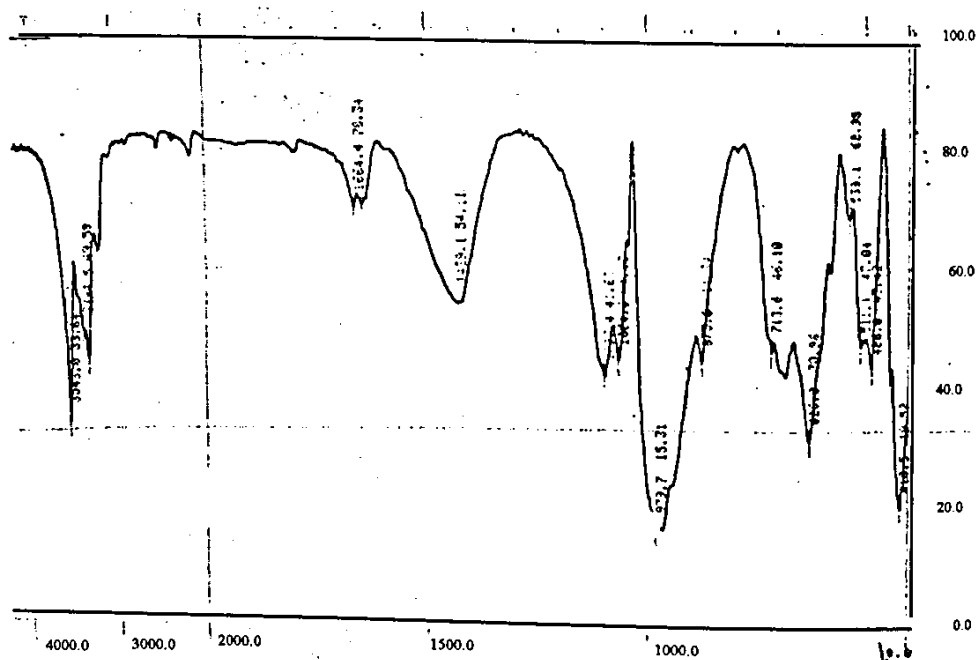
۲۹- Sepiolite.



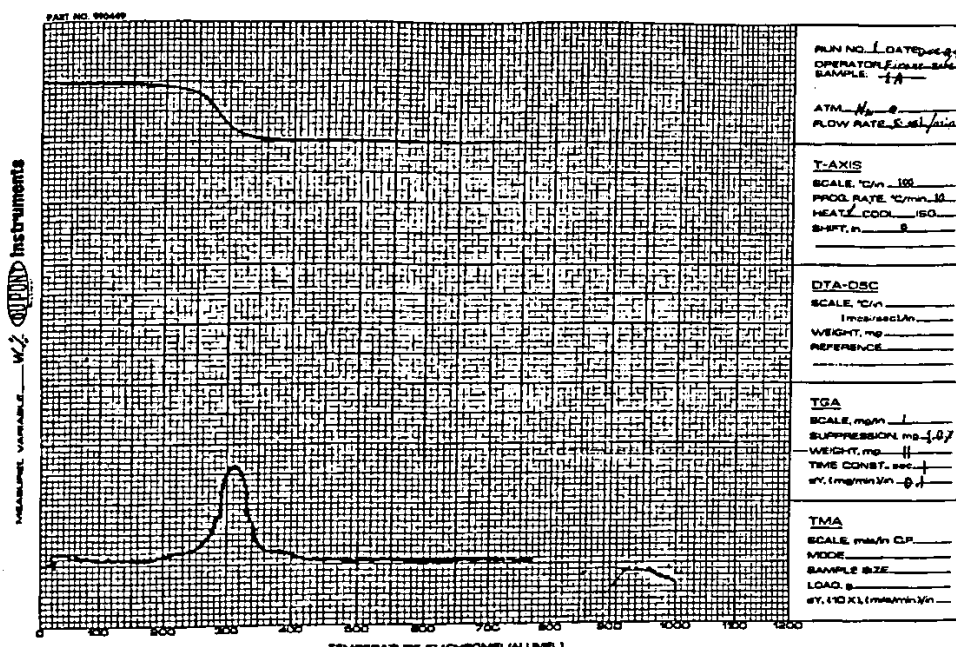
نقشه ۲- منطقه مورد مطالعه و وجود سنگهای درونی و ارتباط آن با سنگهای مورد مطالعه و زنولیت دار  
(از نقشه چهارگوش تهران ۱:۲۵۰,۰۰۰)



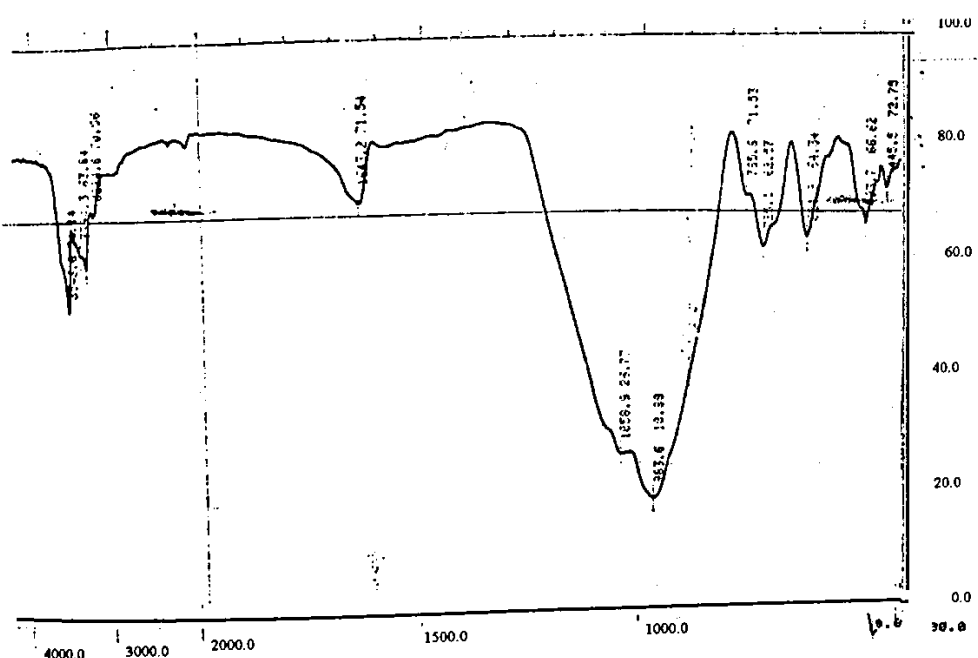
شکل ۱: مربوط به نمونه شماره ۱



شکل ۲: طیف FTIR نمونه شماره ۱ بدون اسیدشوئی



شکل ۳- طیف TGA مربوط به نمونه شماره ۱A. پیک مربوط به خروج CO<sub>2</sub> در ناحیه بالاتر از ۵۵۰ درجه ناپدید شده است.



شکل ۴- طیف FTIR نمونه شماره ۱ با اسیدشوئی. پیک در ناحیه ۱۴۲۹ cm<sup>-1</sup> مربوط به کلسیت ناپدید شده است.

## References

1. Z.D. Hora, Mineralogy and Properties of Zeolites, Industrial Minerals in Environmental Applications symposium (1993).
2. W.G. Pond, Zeolites in animal nutrition and health: a review; Natural Zeolites '93, D.W. Ming and F.A. Mupton, eds., pp.449-457, Int. Comm. Natural Zeolites, Brockport, New York 14420 (1995).
3. R. Aiello, Zeolitic tuffs as building materials in Italy: a review; Natural Zeolites '93, D.W. Ming and F.A. Mupton, eds., pp. 589-602, Int. Comm. Natural Zeolites, Brockport, New York 14420 (1995).
4. R. Serale, Zeolites '93, D.W. Ming and F.A. Mupton, eds., pp. 603-612, Int. Comm. Natural Zeolites, Brockport, New York 14420 (1995).
5. Z. Quanchang, Utilization of natural zeolites in China; Natural zeolites and its utilization, edited by No. 111 committee, JSPS (1994).
6. J. Lehto, Ion exchange in the nuclear power industry; Ion exchange processes: advances and application, edited by A. Dyer, pp. 39-53. Proceeding of the ion exchange, 93 conference (1993).
7. N.F. Chelishchev, Use of natural zeolites at Chernobyl; Natural Zeolites '93, D.W. Ming and F.A. Mupton, eds., pp. 525-532, Int. Comm. Natural Zeolites, Brockport, New York 14420 (1995).
- 8-ع. حقی پور، ه. تراز، ف. وحدتی دانشمند، تلفیق و بازنگری نقشه زمین‌شناسی چهارگوش شماره ۱۵ ایران، انتشارات سازمان زمین‌شناسی کشور (۱۳۶۵).
9. I. Kostov, Zoning in the development of the volcanogenic zeolites; N.Jb. Miner. Abh. 111, No. 3, pp. 264-278 (1969).
10. T.E.C. Keith and L.W. Staples Zeolites in Eocene basaltic pillow lavas of the Siletz River Volcanics, central coast Range, Oregon; Clays and Clay Mineral 33, No. 2, pp. 135-144 (1985).

11. D.G. Howard, R.W. Tschernich, J.V. Smith, and G.L. Klein: Boggsite, a new high-silica zeolite from Goble, Columbia County, Oregon; Am. Miner. 75. pp. 1200-1204 (1990).
12. Ch. Robert and B. Goffe, Zeolitization of basalts in subaqueous fresh water settings; Field observations and experimental study; Geochimica et Cosmochimica Acta 57. pp. 3597-3612 (1993).
13. G.P.L. Walker, Zeolite zones and dike distribution in relation to the structure of basalts of eastern Iceland; J. of Geology, 68 No. 5; pp. 515-528 (1960a).
14. L.V. Benson and L.S. Teague, Diagenesis of basalts from the Pasco basin, Washington-I. Distribution and composition of secondary mineral phases; J. of Sedimentary Petrology, 52. No. 2; pp. 595-613 (1982).
15. G.P.L. Walker, The amygdale minerals in the Tertiary lavas of Ireland; III. Regional distribution.; Mineralogical Magazine, vol. 32; pp 503-527 (1960b).
16. C.E. Needham, Zeolites in Mexico; Am Miner. 23; pp. 285-287 (1938).
17. D. Pongiluppi, A new occurrence of Yugawaralite at Osilo, Sardinia, Canad. Mineral. 15, pp. 113-114 (1977).
18. M. Uada, Zeolitization in the Neogene formations of Japan; Episodes, 14, No. 3 pp. 242-245 (1991).
19. P.C. Chiramonti, D. Pongiluppi and G. Vezallini, Zeolites in shoshonites of the north-eastern Azarbajian (Iran), Bull. Miner. 102, pp. 386-390 (1979).
20. M.H. Emami, Explanatory text of the Qom quadrangle map 1:250,000, Geological Survey of Iran, Report No. E6, pp. 179 (Persia) (1991).
21. M. Berberian, et al Research on earthquake and the danger of earthquake-faults in Tehran and surroundings, (research and survey of earthquake of Iranland, Part 5), Geological Survey of Iran, Report No. 56; pp. 1316 (1983).
22. G.V. Tsitsishvili, Adsorption and catalytic properties of some Soviet natural zeolites; Natural zeolites, edited by L.B. Sand and F.A. Mupton, pp. 397-402, Pergamon Press Ltd (1978).

## ZEOLITIZATION OF ANEDSITES OF SOUTH KAHRIZAK

*k. Bazargani\*, M.S. Rabbani\*\**

*Department of Geology, faculty of Science Tehran University\**  
*Department of Chemistry, faculty of Science Tehran University and*  
*research counsellor of the AEOI\*\**

### *Abstract*

The Zeolitization of andesites at Aradeh mountain of south Kahrizak was studied. The rocks of the mountain are principally from andesites. The field observations and laboratory experiments such as XRD, FTIR, TGA and chemical analysis were utilized to characterise the zeolitization and secondary minerals of the study area. The zeolites identified, in order of decreasing abundance, were natrolite, tetrnatrolite, heulandite, mesolite, analcime, thomsonite, dakhiardite and stilbite. The secondary minerals were principally calcite, quartz, crystobalite, opal, chlorite, pyrolusite and traces of malachite.

The Si/Al of the analysed zeolites varied from 1.1 to 2.8. The genesis of the zeolites was suggested to be hydrothermal. It is concluded that the zeolitization was repeated, in some parts, in saline alkaline lake environments during the quartenary period.

*Key Words-*andesite, fibrous zeolites, hydrothermal, Iran, Kahrizak, natrolite.

